

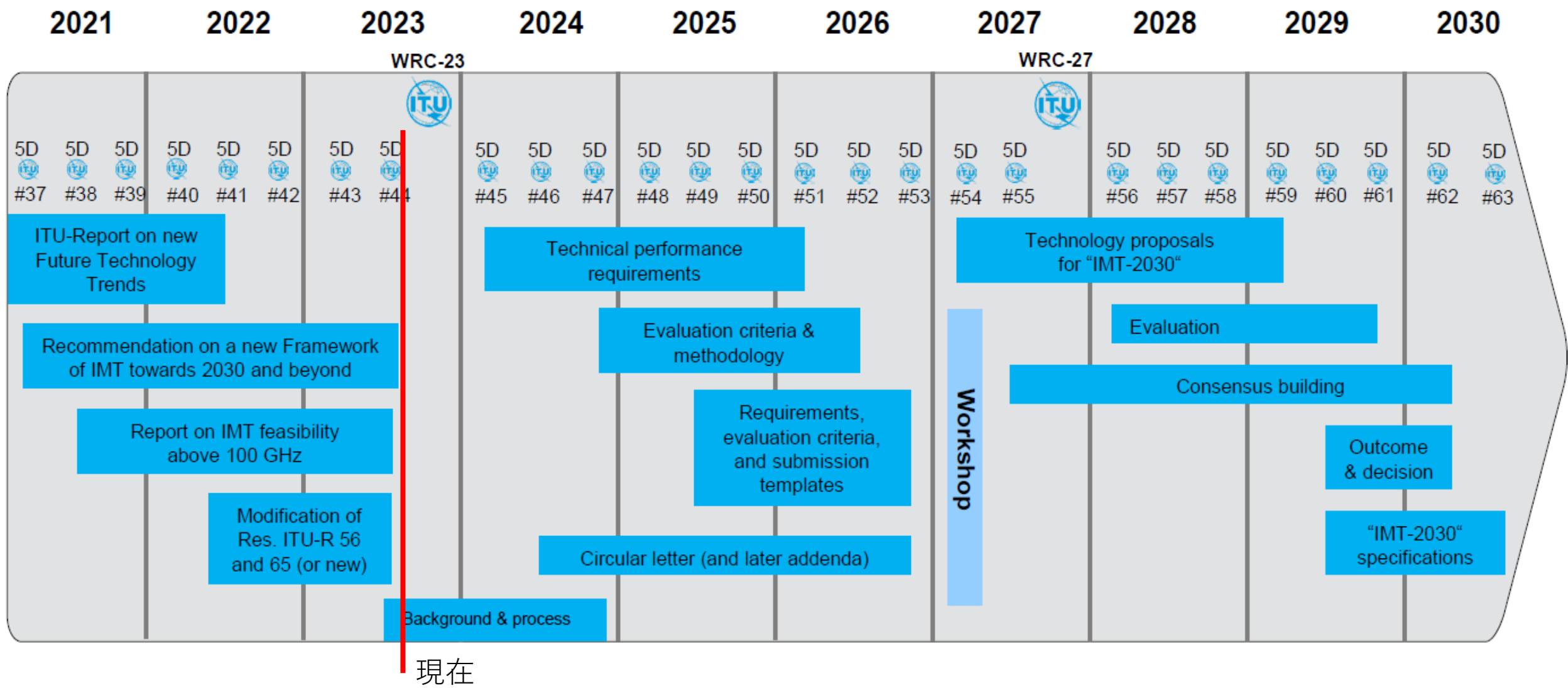
ITU-R WP5D第44回会合の報告と 第45回会合に向けた対応案(above100関連)

Beyond5G推進コンソーシアム
白書分科会 WP5D対応Ad hoc

- 第44回会合(6/12(Mon)-22(Thu))に対して、白書分科会からの入力はありませんでした。
- 本文やannexに対する修正提案等4件の寄与文書とframework勧告に盛り込むabove100報告要旨に関する議論(参考参照)が行なわれました。
- Closing plenaryにおいてPDNR(Preliminary Draft New Report: 新報告草案)化が合意されました。

- 第45回会合は、2024/2/12(Mon)-16(Fri)開催予定です。
- Above 100報告は、第44回会合において、PDNR化が合意されたので、第45回会合では、最終化を目指し、editorialな修正のみが行なわれます。
 - 5.1章の図11に関して、図の説明として赤線で表現している事項の説明が行なわれていますが、図中に赤線が用いられていないため、提案者に確認を行うことになっています。
- このため、白書分科会からの入力が行われないと考えています。
 - もし、入力を行う場合、ITUへの入力締め切りは、2/5(Mon)であり、1月下旬に総務省様の審議が行なわれることになると思いますので、正月明け早々には入力予定をお知らせ頂ければと思います。
- 次回会合において最終化が合意された場合、2024年末のSG5会合において承認が行なわれ、その後、発行/公開されることとなります。

文書番号	Source	概要
5D/1712	Japan, Korea	図表番号等のeditorialな修正を施すとともに、2章Scopeの記載を明確化し、作業計画通り、今会合で最終化することを提案。
5D/1733	NICT	6.1.7章Feeder line technologies for active antenna systemの記載修正提案。 ITU-R M.2417として提供されている252-296GHz帯のchannel arrangement例等を追記している。
5D/1740	Ericsson	4章、5章、及び、annex 21の修正提案。 4.2.1章Frequency around 100 GHzでは、annex 21の測定結果を追記、4.3章Summary of the results of the studiesでは、100GHzを検討対象として追記、5.1章outdoor-to-outdoor coverageでは、figure 2を差し替え、annex 21では写真や測定結果を差し替えるとともに、伝送損失をCI modelによるモデル化を行っている。
5D/1766	WWRF	above100報告に対する修正提案。 新たに、6.4.7章Wavefront engineeringを追加している。
5D/1744	IAFI	framework勧告に向けたabove100報告要旨の修正提案。 Above100報告が最終化されなくともframework勧告において使用可能となるように記載を修正している。



現在

- Annex 1 (Nokia): Summary worldwide measurement campaigns
- Annex 2 (China): Channel characterization study on frequency band 140 GHz, 220 GHz and 300 GHz
- Annex 3 (China): Pathloss study on frequency band 100 GHz and 220 GHz to 330 GHz in indoor scenario
- Annex 4 (Samsung): Channel measurement results for both LoS and NLoS (non-LoS) links in outdoor urban environments
- Annex 5 (Japan): Basic transmission loss study on frequency band from 2 GHz to 300 GHz bands in urban microcell scenario
- Annex 6 (Rohde&Schwarz): Channel measurement campaign performed in an urban micro and in an indoor scenario at 158 GHz and 300 GHz
- Annex 7 (China): Study on the dependence of rain attenuation on the rain drop dimension

- Annex 8 (Korea): 159 GHz measurement and characteristics in an urban street-canyon environment
- Annex 9 (Japan): Study on the effect of reflected waves at 160 GHz in an indoor corridor
- Annex 10 (Japan): Study on the angle of arrival at 160 GHz and 300 GHz in an indoor conference room
- Annex 11 (Nokia): Sub-THz Propagation Measurement Campaign at 142 GHz in an Outdoor Environment
- Annex 12 (China): Field Test of Communication Prototype in 220 GHz band
- Annex 13 (China): Pathloss study on frequency band 140 GHz in an indoor data center
- Annex 14 (China): Terahertz Channel Measurement and Characterization on a Desktop from 75 to 400 GHz

- Annex 15 (TSDSI): A Case Study for Sub-THz Channel Modeling
- Annex 16 (Nokia): Channel measurement campaign for the indoor hotspot office channels at 142 GHz
- Annex 17 (Japan): Measurements of building penetration loss at 2, 26, 97, and 158 GHz
- Annex 18 (Japan): Study on the angle of arrival at 300 GHz in an indoor office
- Annex 19 (Japan): Study on properties of path loss and cross-polarization characteristics at 300 GHz in indoor environment
- Annex 20 (Qualcomm): Sub-THz Wireless Channel Field Measurements: A Study at 140 GHz
- Annex 21 (Ericsson): Outdoor propagation measurements at 96 GHz
- Annex 22 (Ericsson): Sub-THz propagation measurement campaigns at 143 GHz in two indoor scenarios